

ОСОБЕННОСТИ ПРОТЕКАНИЯ ХИМИЧЕСКИХ РЕАКЦИЙ
В СУБЛИМИРУЮЩИХ ГИБРИДНЫХ СИСТЕМАХ

А. Л. МОССЭ

(Минск)

Изложенный в [1] метод анализа процессов переноса при инъекции смеси топливо — окислитель в ламинарный пограничный слой через пористую пластину может быть обобщен на случай сублимации материала поверхности, обтекаемой высокотемпературным газовым потоком. Такой режим может иметь место в гибридных (комбинированных) системах, в которых смесь топлива с окислителем от сублимирующего элемента должна смешиваться и реагировать с окислителем внешнего потока.

Некоторые публикации [2—4] предварительных результатов исследований указывают, что в «чистых» системах (которых окислитель не смешан с твердым топливом) кинетика реакций имеет вторичное значение, по сравнению с процессами переноса в пограничном слое, и в большинстве случаев может быть игнорирована для практических целей. Однако в обратимых гибридных системах и в системах, где некоторое количество окислителя смешано с твердым топливом, кинетика реакций может преобретать существенное значение. Предлагаемые в работах [3, 4] методы анализа процессов переноса для гибридных систем, хотя и дополняют один другой, но недостаточны для описания процесса.

Предлагаемый метод теоретического исследования гибридных систем, хотя и имеет в своей основе диффузионный механизм взаимодействия, позволяет несколько ближе подойти к пониманию кинетических закономерностей благодаря предположению об образовании двух фронтов реакций. Последнее, как показано в [1], обусловлено тем, что в случае одновременной сублимации компонент горючего и окислителя температура смеси может достичь критической температуры реакции T^* (условие образования первого фронта) раньше, чем будет достигнуто полное стехиометрическое соотношение масс. При условии, что массовая скорость горючего компонента больше стехиометрического количества, соответствующего наличию окислителя в смеси, возникновение второго фронта реакции будет обусловлено достижением полного стехиометрического соотношения между массовым потоком не прореагировавшего в первом фронте горючего и окислителем внешнего потока.

Рассмотрим задачу о ламинарном обтекании сублимирующей плоской пластины потоком сжимаемого газа (окислителя) с парциальным давлением паров материала этой пластины в набегающем потоке, меньшим давления насыщенных паров при температуре поверхности; и если последняя меньше температуры в тройной точке фазовой диаграммы, то материал пластины будет сублимировать, минуя жидкую fazу. Предполагаем, что материал пластины представляет собой гибридную систему и сублимирует при условии, что массовая скорость горючего компонента больше стехиометрического количества, соответствующего наличию окислителя в сублимирующей смеси. В пограничном слое имеют место два фронта реакции (фиг. 1): $\varphi = \varphi(\eta)$ и $\psi = \psi(\eta)$.

Предполагаем, как и ранее, что скорости химической реакции значительно превышают скорость диффузии компонент, вследствие чего химическое взаимодействие определяется главным образом диффузией компонент к плоскостям реакций, которые рассматриваем как бесконечно тонкие поверхности, являющиеся поверхностями разрыва в пограничном слое. Все допущения теории пограничного слоя сохраняются, число Прандтля $N_{Pr} \neq 1 = \text{const}$, число Шмидта $N_{Sc} \neq 1 = \text{const}$ и $N_{Pr} \neq N_{Sc}$.

Так как механизмы процессов переноса при сублимации и пористой подаче подобны, используем систему уравнений и граничных условий для

ламинарного пограничного слоя, приведенную в [1, 5]. Отличие состоит лишь в граничных условиях на сублимирующую гибридной поверхности в силу ее авторегулируемой связи с температурой и давлением.

Концентрацию горючего компонента на поверхности пластины представим в виде

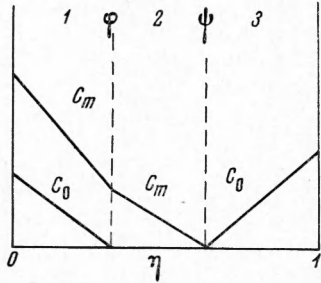


Схема распределения концентраций, положений плоскостей реакций и зон реагирования в системе координат η

При равновесной сублимации парциальное давление паров сублимирующего вещества на стенке p_{mw} равно парциальному давлению насыщенных паров p_m^* при температуре стенки T_w , которое для идеальных газов и без учета изменения объема следует закону Клаузиуса — Клайперона

$$\ln \frac{p_\infty}{p_{mw}} = -\frac{L}{R} \left(\frac{1}{T_w} - \frac{1}{T_s} \right) \quad (3)$$

Здесь T_s — температура сублимации.

Подставляя в (1) значение m_w соответственно (2) и учитывая (3), получим выражение для концентрации сублимирующего топливного компонента на поверхности пластины через скрытую теплоту и температуры сублимации и поверхности пластины

$$C_{mw} = \left[1 + \frac{m_0}{m_m} (Z - 1) \right]^{-1} \quad (4)$$

Покажем применимость (4) для газовых систем, не подчиняющихся законам идеальных газов. Выражение закона Клаузиуса — Клайперона с учетом изменения объема

$$L = T \frac{dp}{dT} V, \quad \text{или} \quad L = \frac{T}{p} \frac{dp}{dT} (RT - \alpha p) \quad (\alpha = \frac{RT}{p} - V)$$

Здесь V — изменение объема в процессе сублимации, α — отклонение системы от идеального состояния.

Соответственно [6], заменим парциальные давления эффективными давлениями f , характеризующими стремление вещества распространяться между неоднородными фазами системы; и используя (5), получим

$$d \ln f = \frac{V dp}{RT} = \frac{L}{RT^2} dT \quad (6)$$

И после интегрирования от T_s до T_w и соответственно от f_{mw} до f_∞

$$\ln \frac{f_\infty}{f_{mw}} = -\frac{L}{R} \left(\frac{1}{T_w} - \frac{1}{T_s} \right) \quad (7)$$

Для однозначного определения положения фронтов реакций $\varphi = \varphi(\eta)$ и $\psi = \psi(\eta)$, и концентрации горючего компонента $C_{m\varphi}$ в плоскости φ следует рассмотреть сопряженную диффузионно-тепловую задачу. Уравнение сохранения количества движения при $\rho_0 \mu_0 = 1$ автономно, и решение дано в [7].

Для области 1 между поверхностью стенки и фронтом реакции φ (см. фиг. 1) для сублимирующего горючего компонента из решения уравнения диффузии, преобразованного к виду

$$C(\eta) = C_1 N_{Sc} \int_0^\eta \Phi(\eta, N_{Sc}) d\eta + C_2 \quad \left(\Phi(\eta, N_{Sc}) = \left[\frac{K(\eta)}{K(0)} \right]^{N_{Sc}-1} \right) \quad (8)$$

с граничными условиями

$$C_{mw} = \left[1 + \frac{m_0}{m_m} (Z - 1) \right]^{-1} \text{ при } \eta = 0, \quad C_m(\varphi) = C_{m\varphi} \text{ при } \eta = \varphi \quad (9)$$

получим выражение для распределения концентрации

$$C_m(\eta) = \left\{ C_{m\varphi} \int_0^\eta \Phi(\eta, N_{Sc}) d\eta + \right. \\ \left. + \left[1 + \frac{m_0}{m_m} (Z - 1) \right]^{-1} \int_\eta^\varphi \Phi(\eta, N_{Sc}) d\eta \right\} \left\{ \int_0^\varphi \Phi(\eta, N_{Sc}) d\eta \right\}^{-1} \quad (10)$$

Аналогично, для сублимирующего компонента окислителя, из решения уравнения (8) с граничными условиями

$$C_{ow} = \frac{m_0}{m_m} (Z - 1) \left[1 + \frac{m_0}{m_m} (Z - 1) \right]^{-1} \text{ при } \eta = 0 \text{ и } C_0(\varphi) = 0 \text{ при } \eta = \varphi \quad (11)$$

распределение концентрации будет

$$C_0(\eta) = \frac{m_0}{m_m} (Z - 1) \left[1 + \frac{m_0}{m_m} (Z - 1) \right]^{-1} \int_\eta^\varphi \Phi(\eta, N_{Sc}) d\eta \left\{ \int_0^\varphi \Phi(\eta, N_{Sc}) d\eta \right\}^{-1} \quad (12)$$

Выражения для распределения концентрации горючего компонента в области 2 (между фронтами реакций φ и ψ) и окислителя в области 3 (между фронтом реакции ψ и внешней границей пограничного слоя) совпадают с полученными в [1] и соответственно равны

$$C_m(\eta) = C_{m\varphi} \int_\varphi^\eta \Phi(\eta, N_{Sc}) d\eta \left\{ \int_\psi^\varphi \Phi(\eta, N_{Sc}) d\eta \right\}^{-1} \quad (13)$$

$$C_0(\eta) = C_{0\infty} \int_\eta^\psi \Phi(\eta, N_{Sc}) d\eta \left\{ \int_1^\psi \Phi(\eta, N_{Sc}) d\eta \right\}^{-1} \quad (14)$$

Из условия баланса массы в плоскости φ для смеси сублимирующих компонент получим соотношения для связи интересующих нас величин φ , Ψ , $C_{m\varphi}$

$$C_{m\varphi} \left[1 + \frac{m_0}{m_m} (Z - 1) \right] \int_0^\varphi \Phi(\eta, N_{Sc}) d\eta = \left[1 - \frac{am_0}{m_m} (Z - 1) \right] \int_1^\varphi \Phi(\eta, N_{Sc}) d\eta \quad (15)$$

Из условия баланса массы горючего компонента и окислителя внешнего потока в плоскости ψ следует

$$C_{m\varphi} \int_1^\psi \Phi(\eta, N_{Sc}) d\eta = a C_{0\infty} \int_\psi^\varphi \Phi(\eta, N_{Sc}) d\eta \quad (16)$$

Отсюда

$$C_{m\varphi} = aC_{0\infty} \int_{\psi}^{\varphi} \Phi(\eta, N_{Sc}) d\eta \left\{ \int_0^{\psi} \Phi(\eta, N_{Sc}) d\eta \right\}^{-1} \quad (17)$$

После подстановки (17) в (15) однозначно определяется положение фронта реакции ψ

$$aC_{0\infty} \left[1 + \frac{m_0}{m_m} (Z - 1) \right] \int_0^{\psi} \Phi(\eta, N_{Sc}) d\eta = \left[1 - \frac{am_0}{m_m} (Z - 1) \right] \int_1^{\psi} \Phi(\eta, N_{Sc}) d\eta. \quad (18)$$

или

$$aC_{0\infty} \left[1 + \frac{m_0}{m_m} (Z - 1) \right] R(0, \psi) = \left[1 - \frac{am_0}{m_m} (Z - 1) \right] R(1, \psi) \quad (19)$$

где, как и в [1],

$$R(\eta_1, \eta_2) = \int_{\eta_1}^{\eta_2} \Phi(\eta, N_{Sc}) d\eta = \int_{\eta_1}^{\eta_2} \left[\frac{K(\eta)}{K(0)} \right]^{N_{Sc}-1} d\eta$$

В случае, если $T_w > T^*$, смесь горючего и окислителя, сублимируя с поверхности пластины, будет реагировать сразу же на стенке. Концентрация горючего компонента на стенке после химической реакции

$$C_{mn} = \left[1 - \frac{am_0}{m_m} (Z - 1) \right] \left[1 + \frac{m_0}{m_m} (Z - 1) \right]^{-1} \quad (20)$$

Решение уравнения (8) с граничными условиями (20) и $C_m(\psi) = 0$ при $\eta = \psi$ приводит к следующему выражению для распределения концентрации в области между поверхностью стенки и плоскостью реакции ψ :

$$C_m(\eta) = \left[1 - \frac{am_0}{m_m} (Z - 1) \right] \left[1 + \frac{m_0}{m_m} (Z - 1) \right]^{-1} \times \\ \times \int_{\eta}^{\psi} \Phi(\eta, N_{Sc}) d\eta \left\{ \int_0^{\psi} \Phi(\eta, N_{Sc}) d\eta \right\}^{-1} \quad (21)$$

Использование условия баланса массы в плоскости ψ приводит вновь к соотношению (19).

Как следует из (15), определить однозначно φ и $C_{m\varphi}$ только из концентрационных условий нельзя. Для однозначного определения φ и $C_{m\varphi}$ следует дополнительно рассмотреть тепловое условие для плоскости реакции φ , следующее из закона сохранения энергии:

$$H'_1 - H'_2 = q \left(\frac{N_{Pr}}{N_{Sc}} \frac{dC}{d\eta} \right)_{\varphi} \text{ при } \eta = \varphi \quad (22)$$

Значение энталпий H_1 и H_2 определим из решения уравнения энергии вида [5]:

$$H'' - (N_{Pr} - 1) \left(\frac{K'}{K} \right) H' = u_{\infty}^2 (1 - N_{Pr}) \left(\frac{K'}{K} \eta + 1 \right) \quad (23)$$

с граничными условиями

$$\begin{aligned} H(0) &= H_w \quad \text{при } \eta = 0, & H &= H_{\infty} \quad \text{при } \eta = 1 \\ H_1 &= H_2 = H_{\varphi} \quad \text{при } \eta = \varphi, & H_2 &= H_3 = H_{\psi} \quad \text{при } \eta = \psi \end{aligned}$$

Соответственно для областей 1 и 2 получим для энталпий

$$H - H_w = u_\infty^2 \left[\frac{\eta^2}{2} - N_{Pr} J(0, \eta) \right] + \\ + \left\{ H_\varphi - H_w - u_\infty^2 \left[\frac{\Psi^2}{2} - N_{Pr} J(0, \varphi) \right] \right\} \frac{I(0, \eta)}{I(0, \varphi)} \quad (24)$$

$$H - H_\varphi = u_\infty^2 \left[\left(\frac{\eta^2}{2} - \frac{\Psi^2}{2} \right) - N_{Pr} J(\varphi, \eta) \right] + \\ + \left\{ H_\psi - H_\varphi - u_\infty^2 \left[\left(\frac{\Psi^2}{2} - \frac{\Phi^2}{2} \right) - N_{Pr} J(\varphi, \psi) \right] \right\} \frac{I(\varphi, \eta)}{I(\varphi, \psi)} \quad (25)$$

$$J(\eta_1, \eta_2) = \int_{\eta_1}^{\eta_2} \left[\frac{K(\eta)}{K(0)} \right]^x \int_{\eta_1}^{\eta_2} \left[\frac{K(\eta)}{K(0)} \right]^{-x} d\eta d\eta, \quad I(\eta_1, \eta_2) = \int_{\eta_1}^{\eta_2} \left[\frac{K(\eta)}{K(0)} \right]^x d\eta$$

$(x = N_{Pr} - 1)$

Функции I , R и J протабулированы при различных значениях чисел N_{Pr} и N_{Sc} , и распределениях функции параметра вдува $K(\eta)$, полученного из решения, аналогичного задаче Блазиуса [7].

Из условия (22), совместно с (10), (24) и (25), получим еще одно выражение, позволяющее совместно с (15) однозначно определить значения параметров φ и $C_{m\varphi}$

$$\left\{ H_\varphi - H_w - u_\infty^2 \left[\frac{\Psi^2}{2} - N_{Pr} J(0, \varphi) \right] \right\} \frac{1}{I(0, \varphi)} - \\ - \left\{ H_\psi - H_\varphi - u_\infty^2 \left[\left(\frac{\Psi^2}{2} - \frac{\Phi^2}{2} \right) - N_{Pr} J(\varphi, \psi) \right] \right\} \frac{1}{I(\varphi, \psi)} = \\ = q \frac{N_{Pr}}{N_{Sc}} \left\{ C_{m\varphi} - \left[1 + \frac{m_0}{m_m} (Z - 1) \right]^{-1} \right\} \frac{1}{R(0, \varphi)} \quad (26)$$

Распределение концентраций и энталпий используем для определения результирующего влияния на теплоотдачу. Так как

$$\left(\frac{\partial H}{\partial y} \right)_{gw} = \left(\frac{\partial T}{\partial y} c_p + \sum_i h_i \frac{\partial C_i}{\partial y} \right)_{gw} \quad (27)$$

то

$$\left(\frac{\partial T}{\partial y} c_p \right)_{gw} = \left(\frac{\partial H}{\partial y} \right)_{gw} - \left(\sum_i h_i \frac{\partial C_i}{\partial y} \right)_{gw} \quad (28)$$

или, после преобразования к переменной η , количество тепла, подведенное к сублимирующему поверхности,

$$\left(\lambda \frac{\partial T}{\partial y} \right)_{gw} = \frac{\tau_w}{N_{Pr}} \left[\left(\frac{\partial H}{\partial \eta} \right)_{gw} - \left(\sum_i h_i \frac{\partial C_i}{\partial \eta} \right)_{gw} \right] \quad (29)$$

для бинарной смеси

$$\left(\lambda \frac{\partial T}{\partial y} \right)_{gw} = \frac{\tau_w}{N_{Pr}} \left[\frac{\partial H}{\partial \eta} - \left(c_{pm} T \frac{\partial C_m}{\partial \eta} + c_{p0} T \frac{\partial C_0}{\partial \eta} \right) \right]_{gw} \quad (30)$$

подставляя значения градиентов концентраций и энталпий из уравнений (10,) (12) и (24)

$$\left(\lambda \frac{\partial T}{\partial y} \right)_{gw} = \frac{\tau_w}{N_{Pr}} \left\{ H_\varphi - H_w - u_\infty^2 \left[\frac{\Psi^2}{2} - N_{Pr} J(0, \varphi) \right] \right\} \frac{1}{I(0, \varphi)} - \\ - \frac{\tau_w H_w}{N_{Pr}} \frac{a C_{0\infty} R(\varphi, 1)}{R(0, \varphi) R(1, \varphi)} \quad (31)$$

Из уравнения баланса тепла для сублимирующей пластины количество тепла, пошедшее на ее нагрев,

$$(\lambda \frac{\partial T}{\partial y})_{sw} = (\lambda \frac{\partial T}{\partial y})_{gw} - L(\rho v)_w \quad (32)$$

или, подставляя (31) в (32),

$$\begin{aligned} \left(\lambda \frac{\partial T}{\partial y} \right)_{sw} &= \frac{\tau_w}{N_{Pr}} \left\{ H_\varphi - H_w - u_\infty^2 \left[\frac{\varphi^2}{2} - N_{Pr} J(0, \varphi) \right] \right\} \frac{1}{I(0, \varphi)} - \\ &- \frac{\tau_w H_w}{N_{Pr}} \frac{a C_{0\infty} R(\varphi, 1)}{R(0, \varphi) R(1, \psi)} - L(\rho v)_w \end{aligned} \quad (33)$$

Здесь третий член в правой части уравнения учитывает скрытую теплоту сублимации. Для определения суммарного массового потока сублимирующих компонент от стенки используем формулу Стефана [8], учитывая при этом, что смесь бинарна и парциальное давление паров сублимирующих веществ у поверхности равно давлению насыщения при температуре поверхности

$$dp_m/dy = -v D^{-1} (P - p_m) \quad (34)$$

Но так как для бинарной смеси $D_m = D_0 = D = \text{const}$ и слабо зависит от концентрации, то после преобразования к переменной $\eta = \eta(x, y)$

$$\frac{\tau}{\mu} \frac{dp_m}{d\eta} = -\frac{v}{D} (P - p_m) \quad (35)$$

и, интегрируя, окончательно получим

$$\ln(P - p_m) = \frac{v}{D} \frac{\mu}{u_\infty \tau} \eta + C \quad (36)$$

где C — постоянная интегрирования. Полный поток от стенки, вызванный «эффектом вдува» массы при сублимации, обычно локализован в пограничном слое, при этом условия на стенке и на внешней его границе будут

$$p_m = p_{mw} \quad \text{при } \eta = 0, \quad p_m = p_\infty = 0 \quad \text{при } \eta = 1$$

Из первого условия находим постоянную интегрирования $C = \ln(P - p_{mw})$, и после ее подстановки в (36)

$$\ln \frac{P - p_m}{P - p_{mw}} = \frac{v}{D} \frac{\mu}{u_\infty \tau} \eta = \frac{(\rho v) N_{Sc}}{u_\infty \tau} \eta \quad (37)$$

Из (37), используя второе граничное условие, находим значение массового потока от стенки

$$(\rho v)_w = \frac{\tau_w u_\infty}{N_{Sc}} \ln \frac{Z}{Z - 1} \quad (38)$$

Подставляем (38) в (33)

$$\begin{aligned} \left(\lambda \frac{\partial T}{\partial y} \right)_{sw} &= \frac{\tau_w}{N_{Pr}} \left\{ H_\varphi - H_w - u_\infty^2 \left[\frac{\varphi^2}{2} - N_{Pr} J(0, \varphi) \right] \right\} \frac{1}{I(0, \varphi)} - \\ &- \frac{\tau_w H_w}{N_{Pr}} \frac{a C_{0\infty} R(\varphi, 1)}{R(0, \varphi) R(1, \psi)} - \frac{L \tau_w u_\infty}{N_{Sc}} \ln \frac{Z}{Z - 1} \end{aligned} \quad (39)$$

Уравнение (32) справедливо в том случае, если на стенке нет химических реакций. Если $T_w > T^*$ и сублимирующие компоненты реагируют на поверхности пластины, тогда

$$\left(\lambda \frac{\partial T}{\partial y} \right)_{sw} = \left(\lambda \frac{\partial T}{\partial y} \right)_{gw} - \sum \left(h_{id} D \frac{\partial C}{\partial y} \right)_{gw} + (\rho v H)_{sw} + q_{gw} - L(\rho v)_w \quad (40)$$

Здесь предполагаем, что реакция идет с выделением тепла. Кроме того, если учитывать излучение от стенки, то в правой части следует добавить еще член $\varepsilon\sigma T^4_w$.

Для бинарной смеси

$$\left(\lambda \frac{\partial T}{\partial y}\right)_{sw} = \left(\lambda \frac{\partial T}{\partial y}\right)_{gw} - \left(h_m \rho_m D \frac{\partial C_m}{\partial y} + h_0 \rho_0 D \frac{\partial C_0}{\partial y}\right)_{gw} + H_w (\rho v)_w + q_{gw} - L (\rho v)_w \quad (41)$$

где h_{mw} и h_{0w} — энталпия каждого из компонентов при температуре стенки.

Так как из условия баланса вещества имеем

$$h_{1w} \rho_{1w} D \left(\frac{\partial C_1}{\partial y} \right)_w + h_{2w} \rho_{2w} D \left(\frac{\partial C_2}{\partial y} \right)_w = h_{1w} C_{1w} (\rho v)_w - h_{2w} (1 - C_{2w}) (\rho v)_w$$

то

$$\left(\lambda \frac{\partial T}{\partial y}\right)_{sw} = \left(\lambda \frac{\partial T}{\partial y}\right)_{gw} + (H_w - L) (\rho v)_w + q_{gw} \quad (42)$$

Подставляя значения градиентов концентрации и энталпии из уравнений (21) и (24) в (30), определим тепловой поток на стенку за счет теплопроводности

$$\begin{aligned} \left(\lambda \frac{\partial T}{\partial y}\right)_{gw} &= \frac{\tau_w}{N_{Pr}} \left\{ H_\psi - H_w - u_\infty^2 \left[\frac{\Psi^2}{2} - N_{Pr} J(0, \Psi) \right] \frac{1}{I(0, \Psi)} \right\} - \\ &- \frac{\tau_w H_w}{N_{Pr}} \left[\frac{am_0}{m_m} (Z - 1) - 1 \right] \left[1 + \frac{m_0}{m_m} (Z - 1) \right]^{-1} \frac{1}{R(0, \Psi)} \end{aligned} \quad (43)$$

С учетом (43), количество тепла, пошедшее на нагрев сублимирующейся стенки при химической реакции на ее поверхности, будет

$$\begin{aligned} \left(\lambda \frac{\partial T}{\partial y}\right)_{sw} &= \frac{\tau_w}{N_{Pr}} \left\{ H_\psi - H_w - u_\infty^2 \left[\frac{\Psi^2}{2} - N_{Pr} J(0, \Psi) \right] \frac{1}{I(0, \Psi)} \right\} - \\ &- \frac{\tau_w H_w}{N_{Pr}} \left[\frac{am_0}{m_m} (Z - 1) - 1 \right] \left[1 + \frac{m_0}{m_m} (Z - 1) \right]^{-1} \frac{1}{R(0, \Psi)} + \\ &+ \frac{(H_w - L) \tau_w u_\infty}{N_{Sc}} \ln \frac{Z}{Z - 1} + q_{gw} \end{aligned} \quad (44)$$

Поступила 19 IX 1966

ЛИТЕРАТУРА

- Моссэ А. Л. Процессы переноса в пограничном слое на пластине с двумя фронтами реакций. Сб. «Общие вопросы тепло- и массообмена» Изд. «Наука и техника», 1966.
- Margxman G. A., Wooldridge C. E., Muzzey R. J. Fundamentals of hybrid boundary-layer combustion. *Heterogeneous Combustion*. N. Y.—London, Acad. Press, 1964, P. 485—522.
- Margxman G. A. Combustion in the turbulent boundary layer on a vaporizing surface. *Tenth Internat. Symposium on Combustion*, Cambridge, England, August, 1964.
- Rabinovitch B. Regression rates and the kinetics of polymer degradation. *Tenth Internat. Symposium on Combustion*, Cambridge, England, August 1964.
- Моссэ А. Л., Сергеев Г. Т. Процессы переноса при подаче в реагирующий пограничный слой смеси топливо-окислитель. *Инж.-физ. ж.*, 1966, № 3.
- Lewis G. N., Randall M. *Thermodynamic und die freie Energie chemischer Substanzen*. Wien, 1927.
- Ван-Дрист Э. Р. Конвективная теплопередача в газах. Сб. *Турбулентное течение и теплопередача*. Изд. иностр. лит., 1963.
- Франк-Каменецкий Д. А. *Диффузия и теплопередача в химической кинетике*. Изд-во АН СССР, 1947.